



LLUVIAS



CENEPRED

Centro Nacional de Estimación, Prevención y
Reducción del Riesgo de Desastres

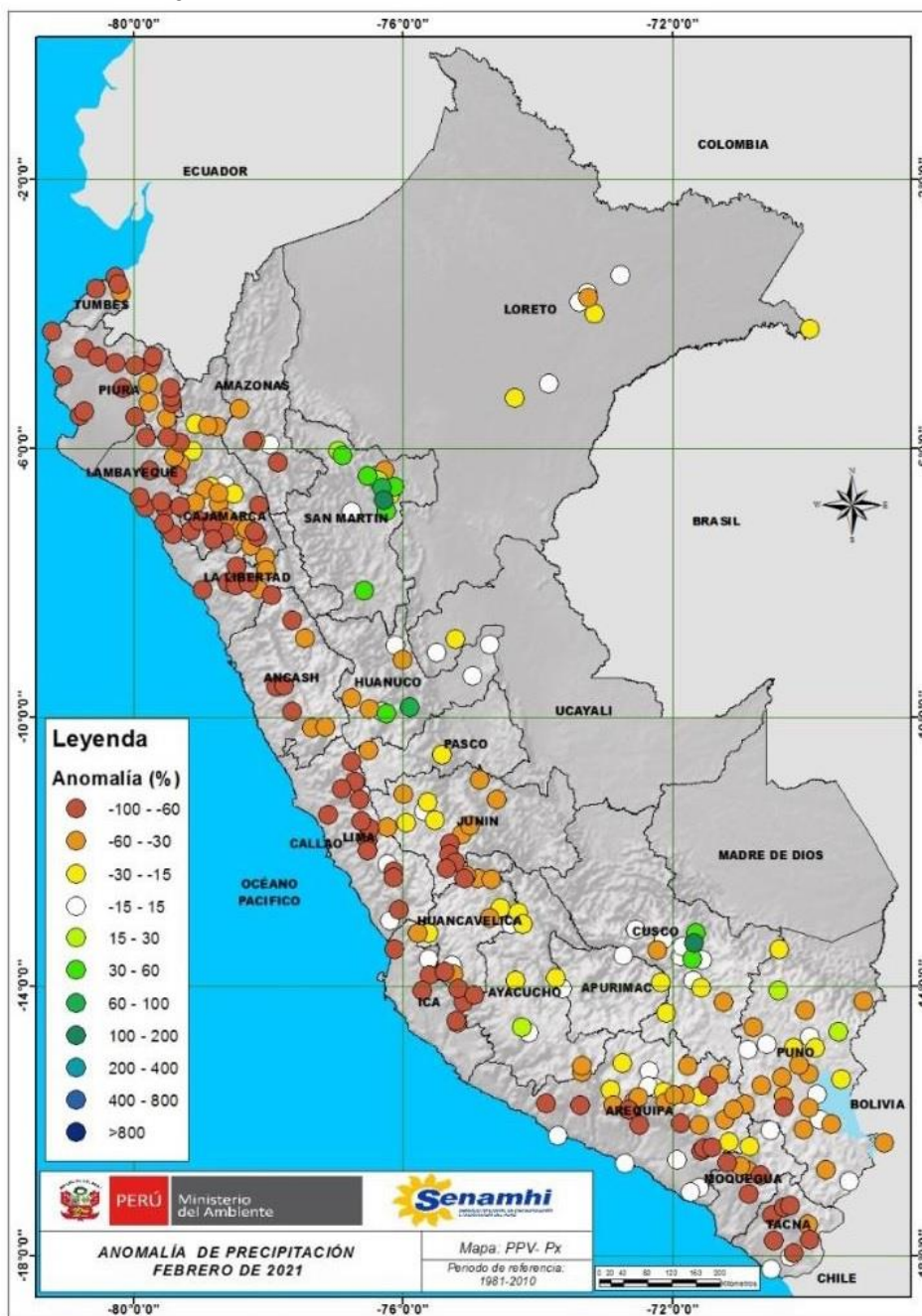
ESCENARIO DE RIESGO ANTE LA TEMPORADA DE LLUVIAS 2020 - 2021

*PRONÓSTICO DE LLUVIA EN LA SELVA
DEL 19 AL 21 DE MARZO DE 2021*

I. COMPORTAMIENTO DE LAS PRECIPITACIONES A NIVEL NACIONAL

En el mes de febrero las deficiencias de lluvias de -15% a -100% se concentraron principalmente a lo largo de la región andina y los excesos de lluvias de +30% a +100% en la región amazónica (San Martín, Huánuco y Cusco). Por otro lado, en la sierra sur oriental, específicamente en Cusco las lluvias fueron más persistentes a diferencia del Altiplano peruano (Puno) donde las lluvias fueron irregulares, alcanzándose deficiencias de -30% a -60% en el mes e incluso en lo que va del periodo lluvioso setiembre 2020-febrero 2021 las estaciones Crucero, Putina e Isla Suana alcanzan deficiencias de -46%, -24% y -34%, respectivamente.

Figura 1. Anomalía mensual de precipitación – febrero 2021



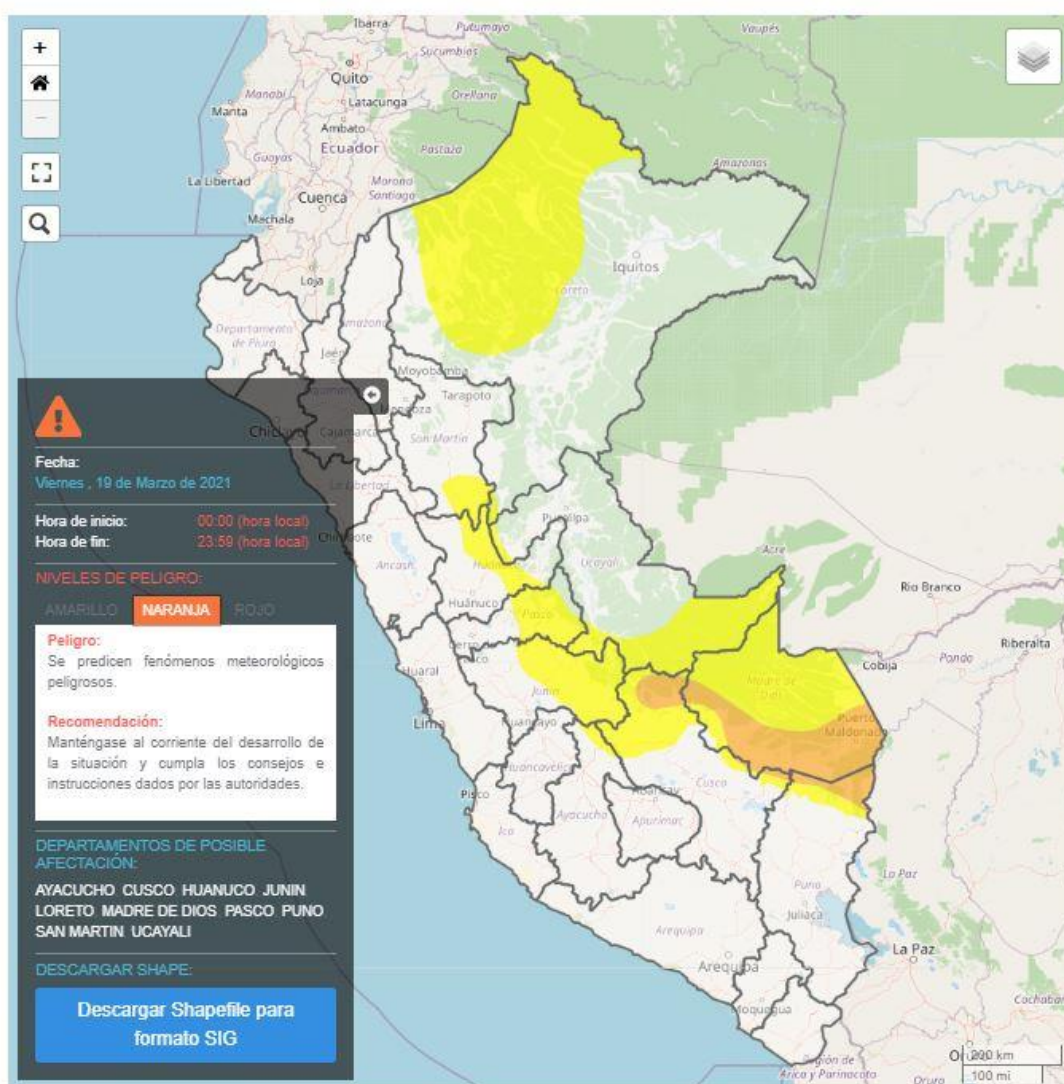
Fuente: SENAMHI (Febrero, 2021).

II. PERSPECTIVAS

El SENAMHI informa que, desde el viernes 19 al domingo 21 de marzo, se presentará lluvia de moderada a fuerte intensidad en la selva, acompañada de descargas eléctricas y ráfagas de viento superiores a los 45 km/h. Durante la vigencia del aviso se espera la disminución de la temperatura diurna. (SENAMHI / Aviso Meteorológico N°055).

El viernes 19 de marzo, se prevén acumulados superiores a los 30 mm/día en la selva norte, sobre los 40 mm/día en la selva centro, y por encima de los 60 mm/día en la selva sur.

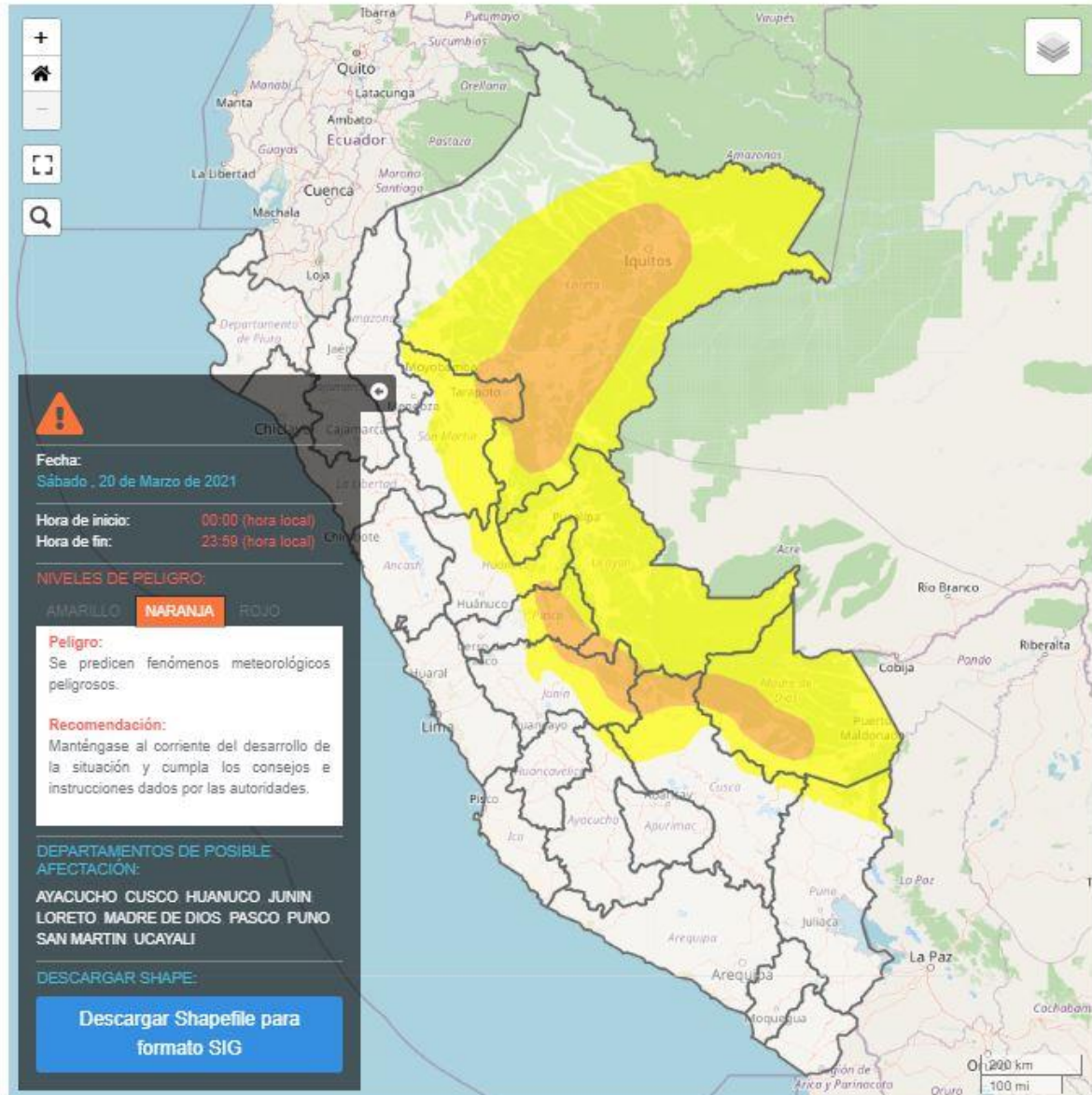
Figura 2. Pronóstico de lluvia en la selva del 19 al 21 de marzo de 2021



Fuente: SENAMHI Aviso Meteorológico N°055

El sábado 20 de marzo, se prevén acumulados superiores a los 60 mm/día en la selva norte, sobre los 70mm/día en la selva centro, y por encima de los 30 mm/día en la selva sur.

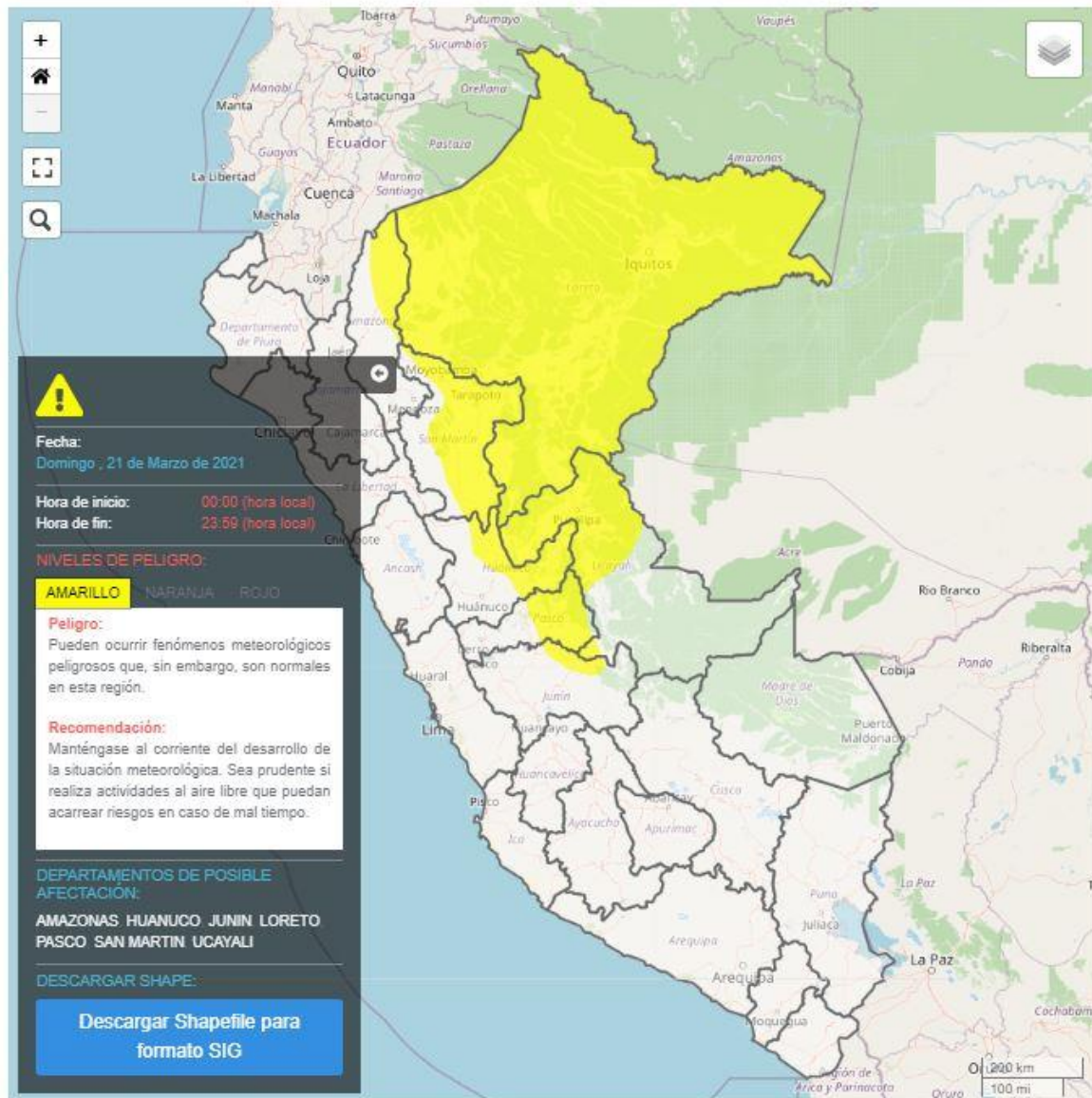
Figura 3. Pronóstico de lluvia en la selva del 20 de marzo de 2021



Fuente: SENAMHI Aviso Meteorológico N°055

El domingo 21 de marzo, se prevén acumulados sobre los 30mm/día en la selva norte, y por encima de los 40 mm/día en la selva centro.

Figura 4. Pronóstico de lluvia en la selva del 21 de marzo de 2021



Fuente: SENAMHI Aviso Meteorológico N°055

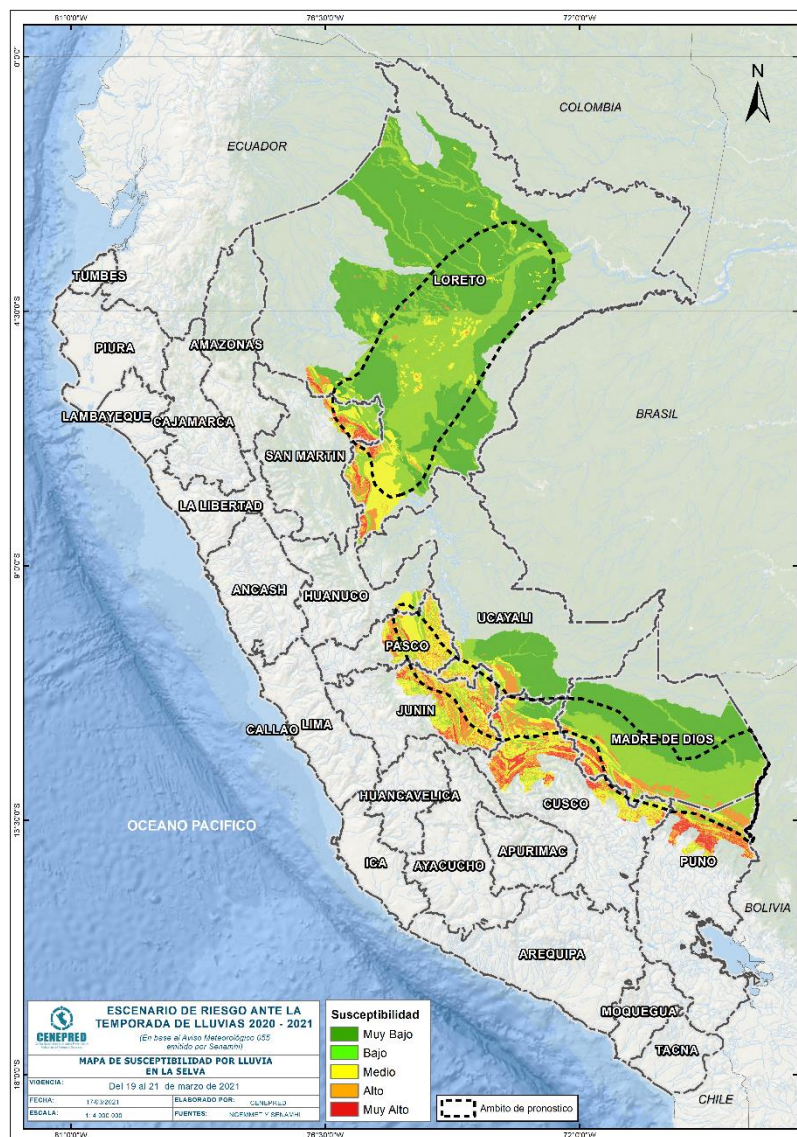
Para efectos de análisis se ha unido el ámbito de los diferentes días que implica el aviso, obteniendo un solo ámbito de exposición por los días de duración del aviso.

III. ANÁLISIS DE SUSCEPTIBILIDAD POR MOVIMIENTOS EN MASA

La probabilidad de la ocurrencia de lluvias de fuerte intensidad durante estos días, desencadenarían la posible presencia de deslizamientos, flujos de detritos (huaycos) u otro tipo de movimientos en masa, que traería consigo situaciones de riesgo. No obstante, no se descarta la presencia de estas en las zonas donde se prevé condiciones normales o de déficit de lluvias.

Para la identificación de los ámbitos con mayor propensión a estos eventos se ha tomado como base el Mapa de Susceptibilidad a Movimientos en Masa¹ (INGEMMET).

Figura 5. Susceptibilidad a movimientos en masa en la selva



Fuente: CENEPRED, elaborado con información del INGENMET y SENAMHI

¹ Cabe destacar que los mapas de susceptibilidad por movimientos en masa, si bien identifican áreas donde se pueden generar potencialmente tales eventos, en ellos no figura la totalidad de zonas a ser afectadas, ni predicen cuando ocurrirán los procesos analizados (Ayala-Carcedo y Olcinas 2002).

IV. ANÁLISIS DE EXPOSICIÓN SOCIOECONÓMICA

En el análisis de exposición socioeconómica, se consideró como unidad mínima de análisis el ámbito distrital. Las variables utilizadas son incidencia de pobreza, tasa de analfabetismo y tasa de desnutrición crónica infantil.

El valor de exposición se obtuvo mediante el análisis con sistemas de información geográfica (SIG), con la finalidad de poder representarlo cartográficamente.

Se estimó el valor de importancia (ponderación) de cada uno de los parámetros mediante el Proceso de Análisis Jerárquico (método de Saaty). Posteriormente, se determinó para cada parámetro los respectivos descriptores, representados por sus quintiles, estimándose también para estos una ponderación mediante el mismo método.

Este procedimiento se muestra en la Tabla 1, dando como resultado el valor de exposición para cada distrito.

Tabla 1. Matriz de ponderación utilizada para la evaluación de los niveles de exposición.

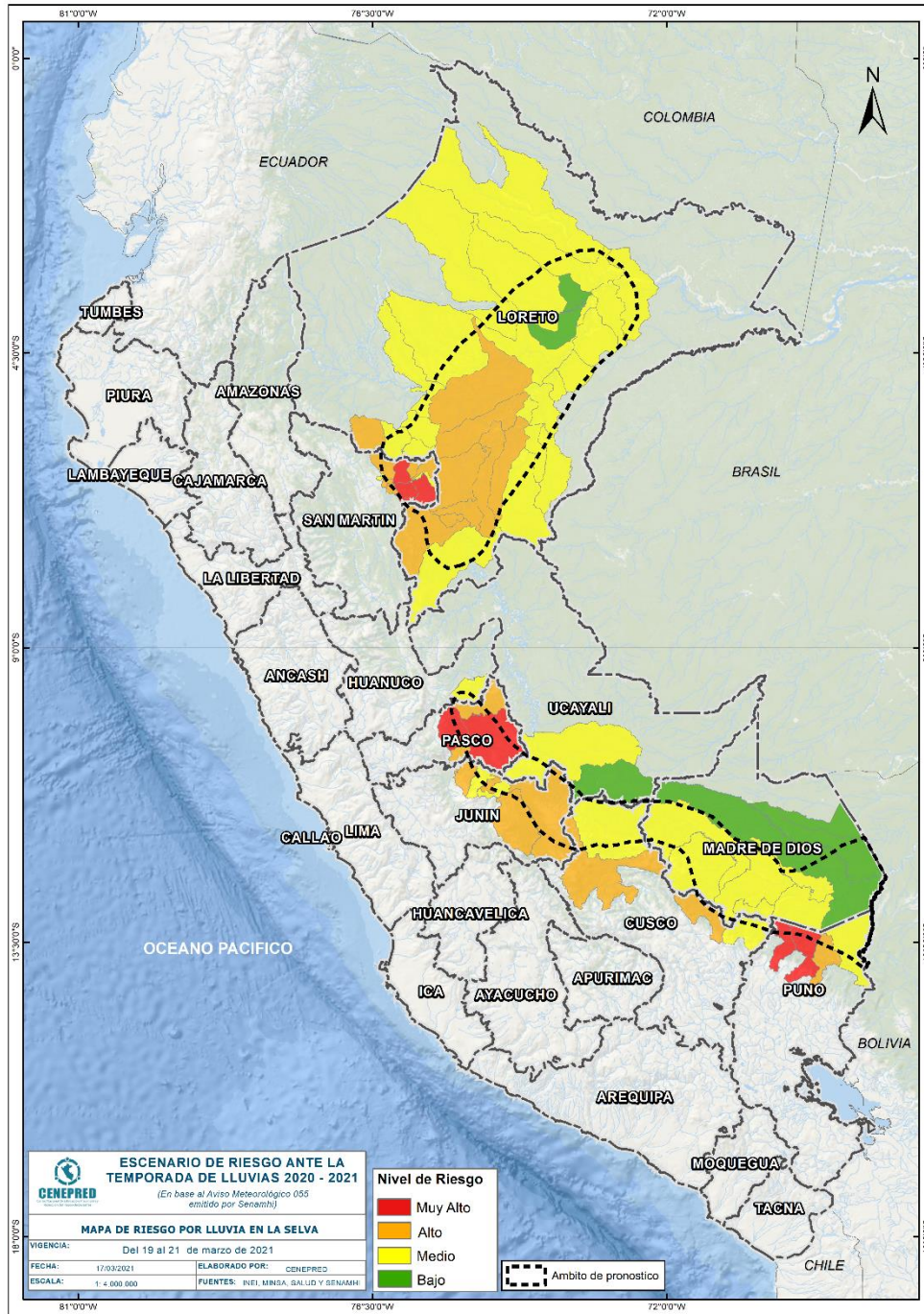
Descriptor	Parámetros de evaluación									Valor de exposición	Rango	Nivel de exposición
	Incidencia de pobreza	Valor	Peso	Tasa de Desnutrición Crónica	Valor	Peso	Tasa de Analfabetismo	Valor	Peso			
D5	Mayor a 63.8%	0.459	0.608	34.2% a 61.7%	0.416	0.272	20.8% a 45.5%	0.432	0.120	0.444	0.262 < R =< 0.444	Muy Alto
D4	50.7% a 63.7%	0.259	0.608	26.0% a 34.1%	0.262	0.272	14.1% a 20.7%	0.283	0.120	0.262	0.153 < R =< 0.262	Alto
D3	36.3% a 50.6%	0.150	0.608	19% a 25.9%	0.161	0.272	9.6% a 14.0%	0.152	0.120	0.153	0.089 < R =< 0.153	Medio
D2	21.8% a 36.2%	0.085	0.608	9.1% a 18.9%	0.099	0.272	5.4% a 9.5%	0.086	0.120	0.089	0.051 < R =< 0.089	Bajo
D1	Menor a 21.8%	0.047	0.608	Menor a 9.1%	0.062	0.272	Menor a 5.4%	0.048	0.120	0.051		

Fuente: CENEPRED, elaborado con información del INEI y el MINSA.

V. ESCENARIO PROBABLE DE RIESGO

Una vez identificado los niveles de susceptibilidad a movimientos en masa y los niveles de exposición de la población, a nivel distrital, se procede a la conjunción de ambos factores para el cálculo de la probabilidad del riesgo (Tabla 2).

Figura 6. Escenario de riesgo por movimientos en masa según el pronóstico de lluvia en la selva



Fuente: CENEPRED

Tabla 2. Elementos expuestos por departamentos según su nivel de riesgo.

Nivel de Riesgo		Muy Alto					Alto				
		Elementos expuestos									
DEPARTAMENTOS		Cantidad Distritos	Población	Viviendas	Establec. Salud	Instituc. Educativas	Cantidad Distritos	Población	Viviendas	Establec. Salud	Instituc. Educativas
1	CUSCO	0	0	0	0	0	2	27,617	8,381	24	167
2	HUANUCO	0	0	0	0	0	0	0	0	0	0
3	JUNIN	0	0	0	0	0	4	163,801	41,044	117	1,093
4	LORETO	0	0	0	0	0	9	64,614	13,778	59	555
5	MADRE DE DIOS	0	0	0	0	0	0	0	0	0	0
6	PASCO	2	24,379	6,293	54	291	2	30,908	7,977	31	171
7	PUNO	2	15,732	6,215	13	85	1	2,970	1,228	2	19
8	SAN MARTIN	3	20,901	4,985	22	103	5	59,442	14,818	29	129
9	UCAYALI	0	0	0	0	0	0	0	0	0	0
TOTAL GENERAL		7	61,012	17,493	89	479	23	349,352	87,226	262	2,134

Fuente: CENEPRED, elaborado con la información del INEI*, MINSA** y MINEDU***

*INEI: Cálculo de población y vivienda según Censos Nacionales 2017: XII de Población y VII de Vivienda

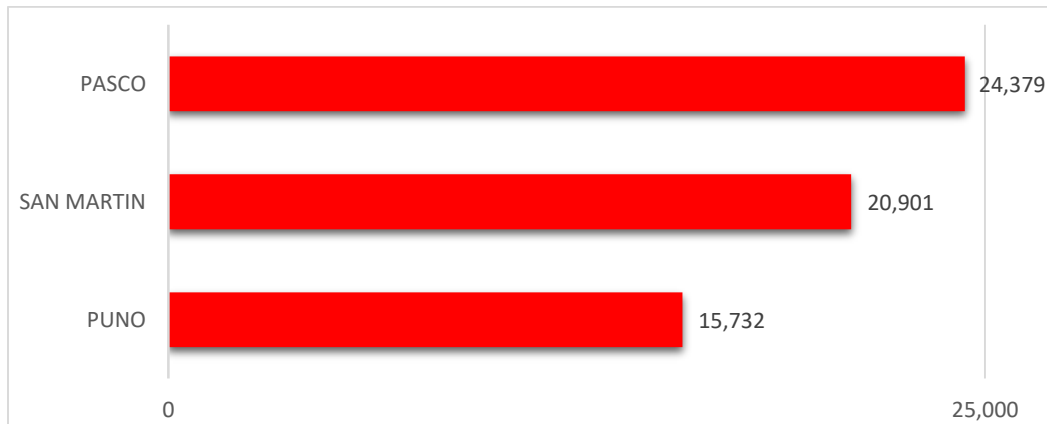
**MINSA: Base RENIPRESS, marzo 2021

***MINEDU: ESCALE, marzo 2021.

Finalmente, se presentan los resultados del escenario de riesgo por movimientos en masa:

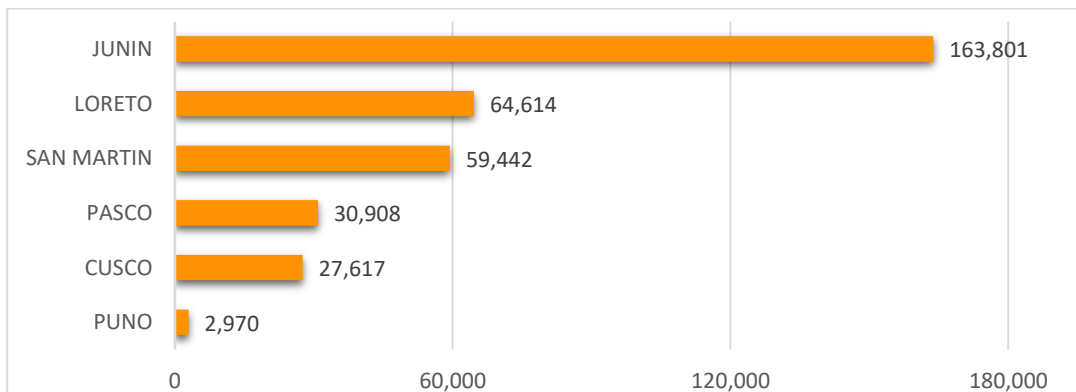
Los departamentos con nivel de riesgo muy alto comprenden una población expuesta de 61,012 habitantes (Figura 7); 17,493 viviendas; 89 establecimientos de salud y 479 instituciones educativas.

Figura 7. Población por departamento: Riesgo Muy Alto



Los departamentos con nivel de riesgo alto comprenden una población expuesta de 349,352 habitantes (Figura 8); 87,226 viviendas; 262 establecimiento de salud y 2,134 instituciones educativas.

Figura 8. Población por departamento: Riesgo Alto



San Isidro, 17 de marzo de 2021

El CENEPRED actualizará esta información de acuerdo a los avisos meteorológicos remitidos por del SENAMHI. El resultado de esta información se encuentra disponible en el Sistema de Información para la Gestión del Riesgo de Desastres - SIGRID, y a través de la página web del CENEPRED <https://cenepred.gob.pe/web/escenario-riesgos/> para su descarga a fin de dar a conocer de manera detallada los parámetros utilizados.